

# Rekonstrukciós eljárások

Orvosi képdiagnosztika

2019 ősz

# Előadások témája

- Röntgen tomográfia fizikai és matematikai alapjai – 2D Radon transzformáció, szűrt visszavetítés:
  - Fan – beam / Cone – beam felvételi elrendezések esete
- Általánosított (3D) röntgen tomográfia alapjai – ART rekonstrukciós eljárások
- Pozitron emissziós tomográfia alapjai – ML-EM statisztikai rekonstrukciós eljárás
- Modell alapú / CS rekonstrukciós eljárások
- Tomoszintézis felvételi elrendezés – MITS rekonstrukció
- Rekonstrukciós eljárások minősítése

# Röntgen tomográfia alapjai

- Általánosított Beer-Lambert törvény:


$$\mathbf{I}_{(x_0, y_0)} = \int_{E_{\min}}^{E_{\max}} I_0(E) \cdot \exp \left\{ - \int_{P(x_0, y_0)} \mu(E, \mathbf{x}) d\mathbf{x} \right\} dE :$$

- $I_0(E)$ : röntgensövet elhagyó  $E$  energiájú fotonok intenzitása (üres térfogat esetén a detektor által érzékelt fotonok száma)
- $P(x, y)$ : pontszerű sugárforrást a detektor  $(x, y)$  koordinátájú pontjával összekötő szakasza a *3d térnek*
- $\mu(E, \mathbf{x})$ : a vizsgált térfogat  $\mathbf{x}$  koordinátájú pontjának lineáris csillapítási együtthatója  $E$  energián
- Egyszerűsített Beer-Lambert törvény:  $I_0(E) \cdot \exp \left\{ - \int_{P(x_0, y_0)} \mu(\mathbf{x}) d\mathbf{x} \right\}$  (monokróm spektrum esete)

# Röntgen tomográfia alapjai

- Monokróm spektrumú sugárzás esete:
  - Általánosan alkalmazott feltételezés
  - Rekonstrukció célja a lin. csillapítási együtthatók meghatározása az alábbi összefüggés invertálásával:

$$-\ln\left(\mathbf{I}_{(x,y)}/I_0\right) = \int_{P(x_0,y_0)} \mu(\mathbf{x}) d\mathbf{x}$$

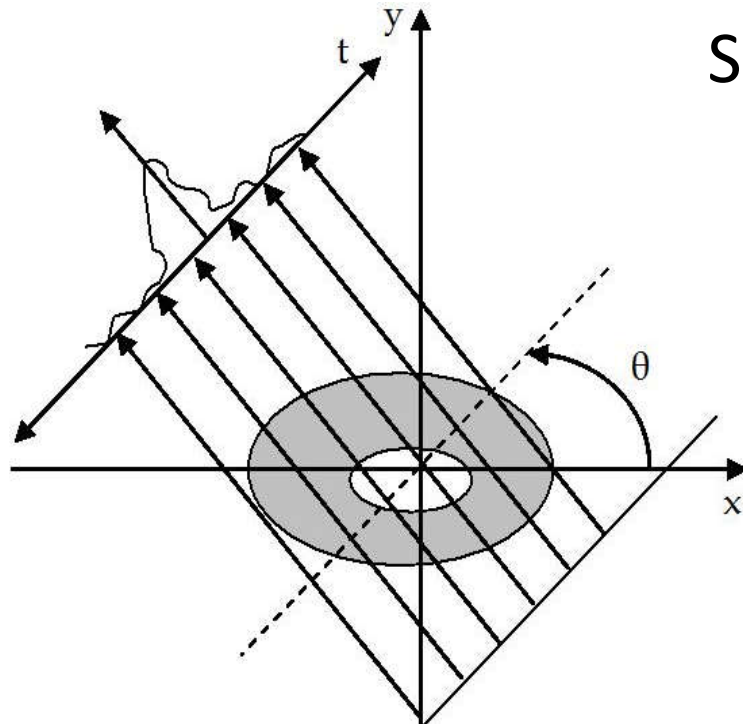
- Valódi röntgensugarak ezzel szemben:
  - Polikromatikusak  sugárkeményedés problémája
  - Szóródnak: nem igaz, hogy csak a vetítősugár mentén elhelyezkedő képletek számítanak.
  - Projekciók egyéb zajjal is terheltek : kis intenzitásnál rossz SNR

# Röntgen alapú képalkotás

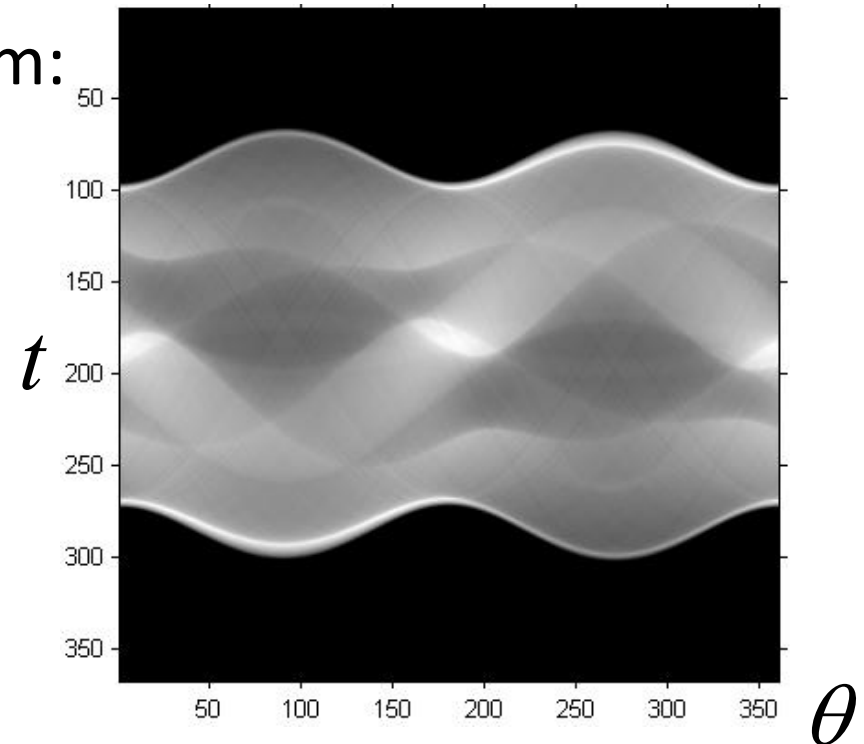
- Konvencionális P-A röntgen:
  - Nincs rekonstrukció
- Számítógépes tomográfia (CT):
  - Párhuzamos vetítősugarakon alapuló eljárások (kevés ilyen eszköz van csak forgalomban), cserébe egyszerű elmélet
  - Legyező (Fan-beam) helikális CT – leggyakoribb típus
  - Cone-beam CT, ennek speciális változata a Tomoszintézis
- Orvosi képdiagnosztika alapvető eszköze:
  - Mivel a röntgen sugárzás ionizál, illetve maga a vizsgálat itthon mércével drága, ezért csak indokolt esetben végzik

# 2D Radon transzformáció:

- Radon transzformáció (2D szelet 1D projekciók):
  - Input: 2D Descartes - koordinátarendszerbeli kép
  - Output: sinogram – 2D polár-koordinátarendszerbeli kép



Sinogram:



# Radon transzformáció – Fourier vetítősík tétel

- Radon transzformáció (2D szelet 1D projekciók):

- Vetítősugarak merőlegesek az x tengellyel  $\theta$  szöget bezáró egyenesre:  $t = x \cdot \cos(\theta) + y \cdot \sin(\theta)$

- Vetítősugarak mentén integráljuk a szelet elemeit:

$$P_{\theta}(t) = \iint_{x,y} f(x, y) \cdot \delta(x \cdot \cos(\theta) + y \cdot \sin(\theta) - t) dx dy$$

- Legyen  $S_{\theta}(\rho) = FT_{\rho}\{P_{\theta}(t)\} = \int P_{\theta}(t) \cdot \exp(-2\pi j \cdot t \rho) dt$

- Fourier vetítősík tétel származtatása:

$$S_{\theta}(\rho) = \iiint_{x,y,t} f(x, y) \cdot \delta(x \cdot \cos(\theta) + y \cdot \sin(\theta) - t) \cdot \exp(-2\pi j \cdot \rho t) dt dy dx$$

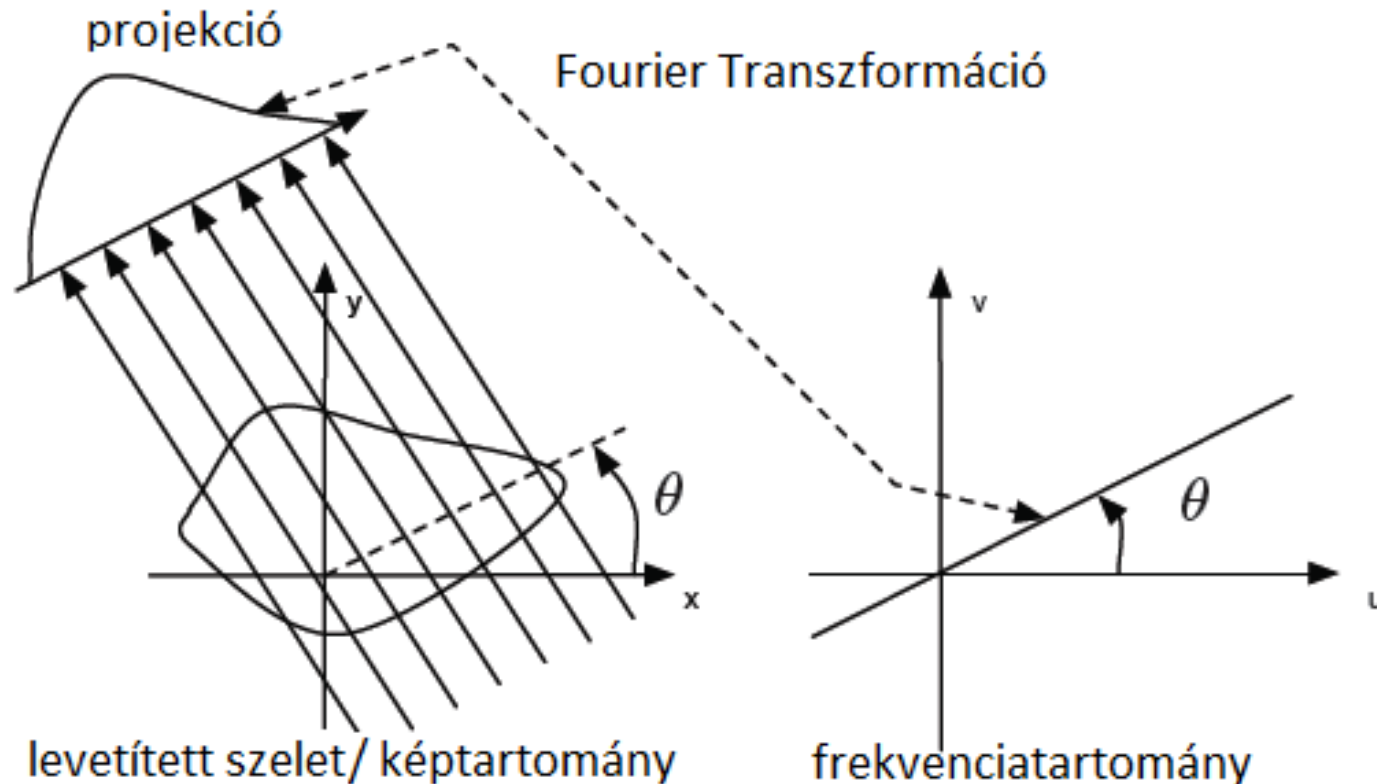
$$S_{\theta}(\rho) = \iint_{x,y} f(x, y) \cdot \exp(-2\pi j \cdot \rho \cdot (x \cdot \cos(\theta) + y \cdot \sin(\theta))) dy dx$$

# Fourier vetítősík tétel

– Lényegében  $f$  spektrumának egy szakaszát kaptuk meg:

$$S_{\theta}(\rho) = F(\rho \cdot \cos(\theta), \rho \cdot \sin(\theta))$$

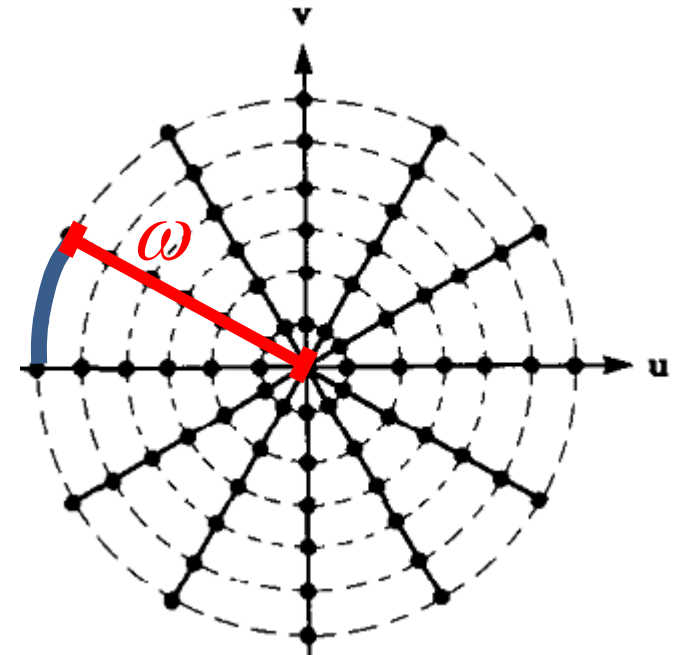
- Vizuális interpretáció:





# Rekonstrukció – FBP alapötlete

- Rekonstrukció célja: Radon Transzf. invertálása
- Fourier vetítősík tétel értelmében a vizsgált szelet spektrumainak bizonyos részeit ismerjük:
  - Az ismert részeket „illesszük” egy üres spektrumba
  - Polár koordinátás frekvencia sugarának függvényében a spektrum mintavételi helyeinek eltérő a távolsága:
$$K(\omega) = |\omega| \cdot \Delta\theta$$
  - Korrekció: spektrumba illesztés előtt  $|\omega|$ -val súlyozzunk frekvenciatérben (ez az ún. rámpaszűrés).



# Szűrt visszavetítés (FBP) származtatása

- FT inverze:  $f(x, y) = \iint_{u,v} F(u, v) \cdot \exp(j2\pi(ux + vy)) dvdu$
- Fourier vetítősík miatt a spektrumot polárkoordináta-rendszerben ismerjük:  $u = \omega \cdot \cos(\theta)$ ;  $v = \omega \cdot \sin(\theta)$

$$f(x, y) = \int_0^{2\pi} \int_0^{\infty} F(\omega, \theta) \cdot \exp(j2\pi \cdot \omega(x \cos(\theta) + y \sin(\theta))) \cdot J d\omega d\theta$$

$$- J = \begin{vmatrix} \partial u / \partial \omega & \partial u / \partial \theta \\ \partial v / \partial \omega & \partial v / \partial \theta \end{vmatrix} = \dots = \omega, \quad du dv = J d\omega d\theta$$

– Továbbiakban  $k := x \cos(\theta) + y \sin(\theta)$

- $f(x, y) = \int_0^{2\pi} \int_0^{\infty} F(\omega, \theta) \cdot \exp(j2\pi \cdot \omega k) \cdot \omega d\omega d\theta$

# Szűrt visszavetítés (FBP) származtatása

- Vágjuk szét a külső integrált:

$$f(x, y) = \int_0^{\pi} \int_0^{\infty} F(\omega, \theta) \cdot e^{j2\pi \cdot \omega k} \omega d\omega d\theta + \int_{\pi}^{2\pi} \int_0^{\infty} F(\omega, \theta) \cdot e^{j2\pi \cdot \omega k} \omega d\omega d\theta$$

- $f(\cdot, \theta)$  a sinogram egy oszlopa, melynek definíciójából (Radon transzf.) következik, hogy  $F(\omega, \theta) = F(-\omega, \theta + \pi)$ , hiszen:

$$F(\omega, \theta + \pi) = \int_{t=-\infty}^{\infty} P_{\theta+\pi}(t) \cdot \exp(-j2\pi\omega t) dt = \int_{t=-\infty}^{\infty} P_{\theta}(-t) \cdot \exp(-j2\pi\omega t) dt$$

$$F(\omega, \theta + \pi) = \int_{l=-\infty}^{-\infty} P_{\theta}(l) \cdot \exp(-j2\pi(-\omega)l) \frac{\partial t}{\partial l} dl = F(-\omega, \theta) \quad l = -t$$

- Felhasználtuk, hogy  $k = x \cos(\theta) + y \sin(\theta)$ , illetve  $\cos(\theta + \pi) = -\cos(\theta)$  és  $\sin(\theta + \pi) = -\sin(\theta)$

# Szűrt visszavetítés (FBP) származtatása

- Vágjuk szét a külső integrált:

$$P_{\theta}(l) \triangleq \int_{-\infty}^{\infty} f(l, \theta) \cdot e^{j2\pi \cdot \omega k} \omega d\omega d\theta + \int_{-\pi}^{\pi} \int_{-\infty}^{\infty} F(\omega, \theta) \cdot e^{j2\pi \cdot \omega k} \omega d\omega d\theta$$

- $f(\cdot, \theta)$  a sinogram egy oszlopából  $S_{\theta}(\omega) \triangleq F(\omega, \theta)$  (Radon transzf.) következik, hogy  $F(\omega, \theta) = F(-\omega, \theta + \pi)$ , hiszen:

$$F(\omega, \theta + \pi) = \int_{t=-\infty}^{\infty} P_{\theta+\pi}(t) \cdot \exp(-j2\pi\omega t) dt = \int_{t=-\infty}^{\infty} P_{\theta}(l) \cdot \exp(-j2\pi\omega t) dt$$

$$F(\omega, \theta + \pi) = \int_{l=-\infty}^{\infty} P_{\theta}(l) \cdot \exp(-j2\pi(-\omega)l) \frac{\partial t}{\partial l} dl = F(-\omega, \theta) \quad l = -t$$

- Felhasználtuk, hogy  $k = x \cos(\theta) + y \sin(\theta)$ , illetve  $\cos(\theta + \pi) = -\cos(\theta)$  és  $\sin(\theta + \pi) = -\sin(\theta)$

# Szűrt visszavetítés (FBP) származtatása

- Alakítsuk át egyszerű behelyettesítésekkel a második integrált:

$$\int_{\pi}^{2\pi} \int_0^{\infty} F(\omega, \theta) \cdot e^{j2\pi \cdot \omega k} \omega d\omega d\theta \Big|_{\theta=-\Theta} = \int_0^{\pi} \int_0^{\infty} F(-\omega, \Theta) \cdot e^{-j2\pi \cdot \omega k} \omega d\omega d\Theta$$

$$k = \cos(\theta)x + \sin(\theta)y$$

$$\int_0^{\pi} \int_0^{\infty} F(-\omega, \Theta) \cdot e^{-j2\pi \cdot \omega k} \omega d\omega d\Theta \Big|_{\omega=-\Omega} = \int_0^{\pi} \int_0^{-\infty} F(\Omega, \Theta) \cdot e^{j2\pi \cdot \Omega k} (-\Omega) \cdot (-1) d\Omega d\Theta$$

$$\int_0^{\pi} \int_0^{-\infty} F(\Omega, \Theta) \cdot e^{j2\pi \cdot \Omega k} (-\Omega) \cdot (-1) d\Omega d\Theta = \int_0^{\pi} \int_{-\infty}^0 F(\Omega, \Theta) \cdot e^{j2\pi \cdot \Omega k} (-\Omega) d\Omega d\Theta$$

# Szűrt visszavetítés (FBP) származtatása

- Lássuk mit sikerült kifőznünk:

$$f(x, y) = \int_0^\pi \int_0^\infty F(\omega, \theta) \cdot e^{j2\pi \cdot \omega k} \omega d\omega d\theta + \int_0^\pi \int_{-\infty}^0 F(\omega, \theta) \cdot e^{j2\pi \cdot \omega k} (-\omega) d\omega d\theta$$

$$f(x, y) = \int_0^\pi \int_{-\infty}^\infty F(\omega, \theta) \cdot |\omega| \cdot \exp(j2\pi k\omega) d\omega d\theta = \int_0^\pi Q_\theta(k) d\theta:$$

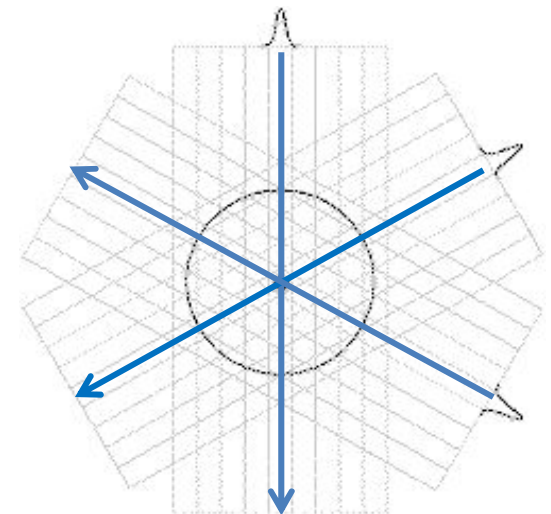
$$- Q_\theta(k) = \int_{\omega=-\infty}^\infty S_\theta(\omega) \cdot |\omega| \cdot \exp(j2\pi k\omega) d\omega \text{ ekvivalens a projekciók}$$

(sinogram oszlopai) rámpa szűrővel

történő szűrésével

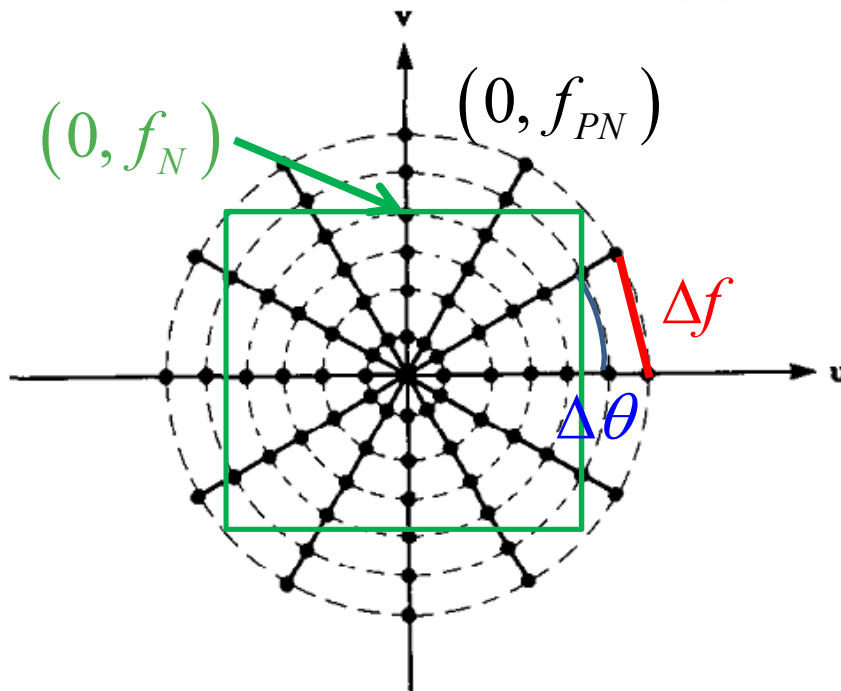
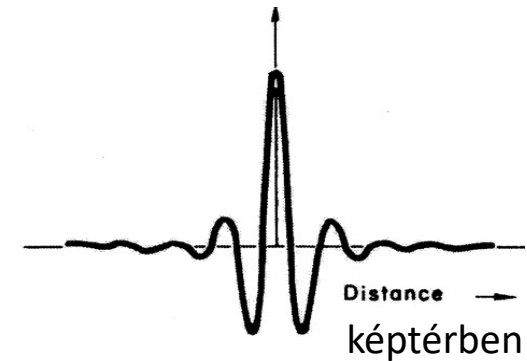
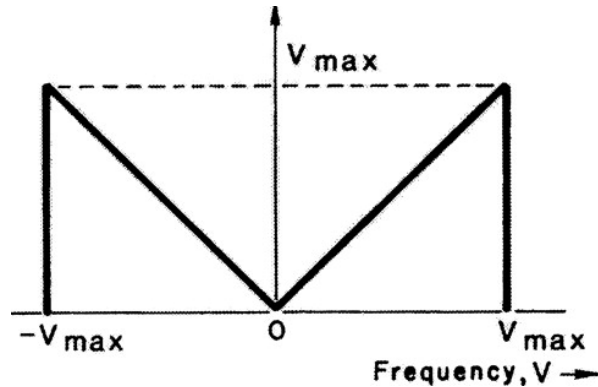
$$- f(x, y) = \int_0^\pi Q_\theta(x \cos(\theta) + y \sin(\theta)) d\theta:$$

az ú.n. visszavetítés



# Szűrt visszavetítés értékelése

- Rámpaszűrő:



„Ideális” rekonstrukció:


- 180°-ból rögzített projekciók
- $f_{PN} = 1/2\Delta t$      $\Delta\theta = \pi/M$
- $\Delta f_{rad} = 2f_{PN}/N = 1/(\Delta t \cdot N)$
- $\Delta f_{az} = f_{PN} \cdot \Delta\theta \approx \Delta f_{rad}$   
 $M/N \approx \pi/2$

# Szűrt visszavetítés implementációja

- Rámpaszűrés frekvenciatérben történik:
  - $\sim 20$ -as szűrő esetén már a frekvenciatartománybeli szűrés a gyorsabb (ennek főleg régebben volt jelentősége).
- Visszavetítés kép / időtartományban:
  - Frekvenciatartományban interpolálnunk kellene a spektrum ismert egyeneseiből a DFT által mintavett frekvenciák értékét (mely messze nem triviális).
- Szűrések, projekciók visszavetítése egyenként (sugaranként) jól párhuzamosítható



# Szűrt visszavetítés zajérzékenysége

- Detektorok DQE-je a frekvencia függvényében monoton csökken  zajos magas frekvencia (PET esetén a röntgenes esetnél jóval rosszabb).
- Ráadásul magas frekvencián „távolabb vannak” a spektrum ismert értékei (ezért kell a rámpa szűrés is).
- Legegyszerűbb megoldás az alul-áteresztés:
  - Az alul-áteresztés és a visszavetítés sorrendje tetszőleges
  - Erőforrásigény miatt érdemes a rámpa szűrőt megszüntetni:

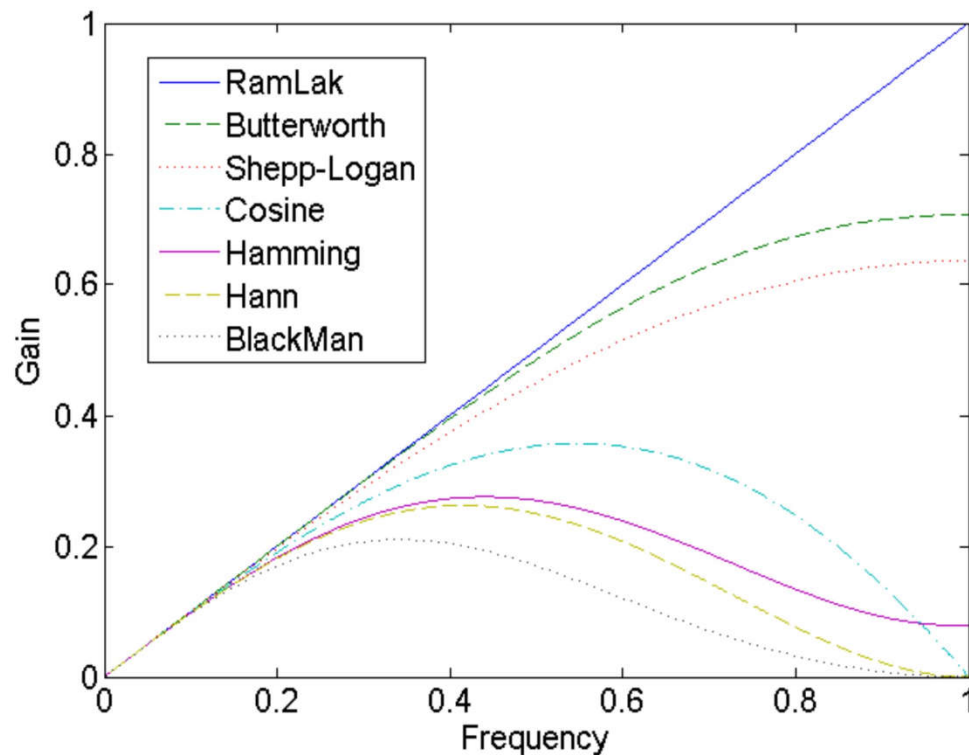
$$\left( P_{\theta} * h_{Ramp} \right) * h_{Lowpass} = P_{\theta} * \left( h_{Ramp} * h_{Lowpass} \right)$$

Klasszikus inverz problémák mely algoritmusaira hasonlít az eljárás?

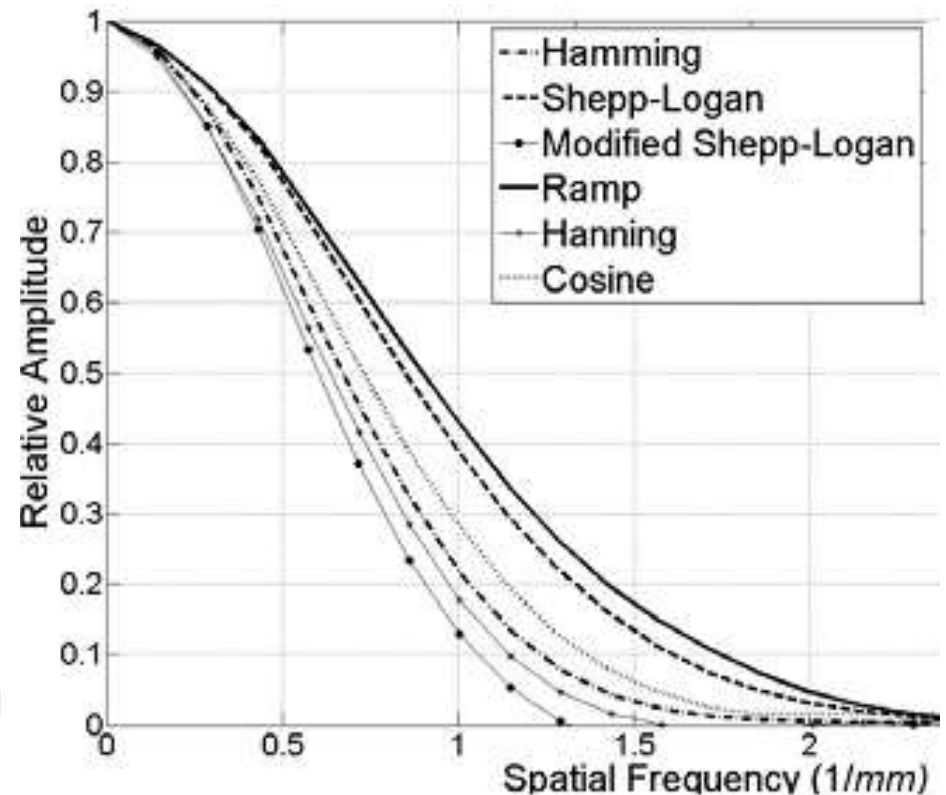
# Szűrt visszavetítés zajérzékenysége

- Rámpa szűrő módosítottjaival szűrünk:

Szűrők átviteli függvényének abszolút értéke:



Egy CAT MTF-je a szűrők függvényében (példa):

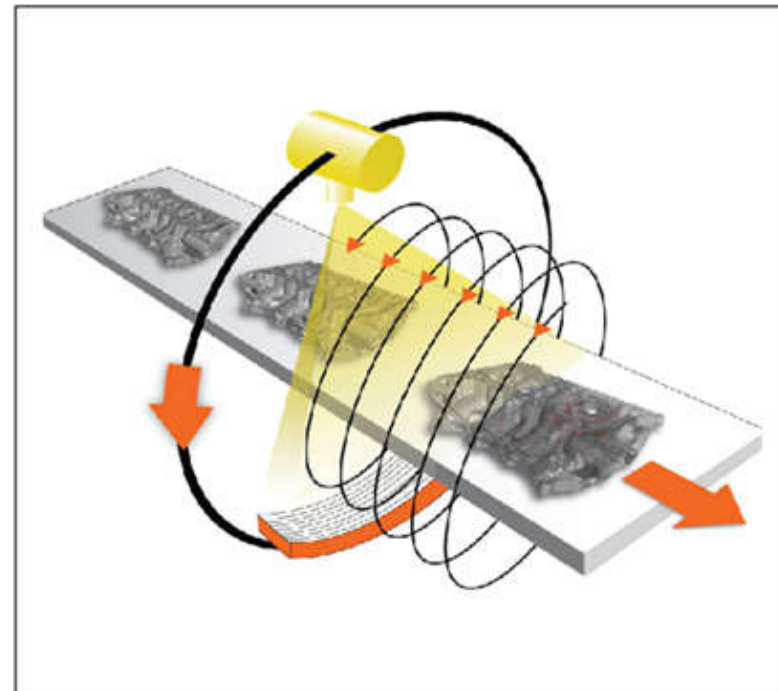
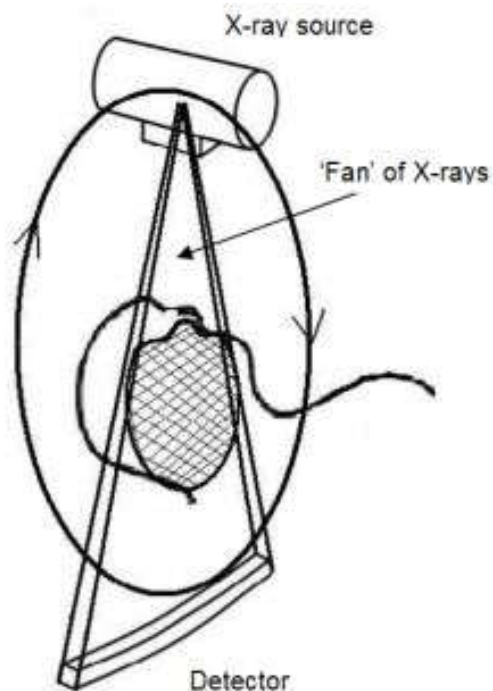


# Szűrt visszavetítés működése

- Demo videó az FBP rekonstrukciójáról:  
<https://www.youtube.com/watch?v=ddZeLNh9aac>
  - A szinogramban oszlop-folytonosan helyezkednek az 1D projekciók.
- A videón jól követhető a limitált szögtartomány által okozott artifakt:
  - Magas frekvenciás komponensek (pl. fantom széle) kis szögtartományból is jól rekonstruálódik.
  - Alacsony frekvenciás komponensek viszont erősen szétmosódtak (jellegzetesen „V” alakban) .
  - Vetítősugarakkal párhuzamos élek rekonstruálhatóak jól.

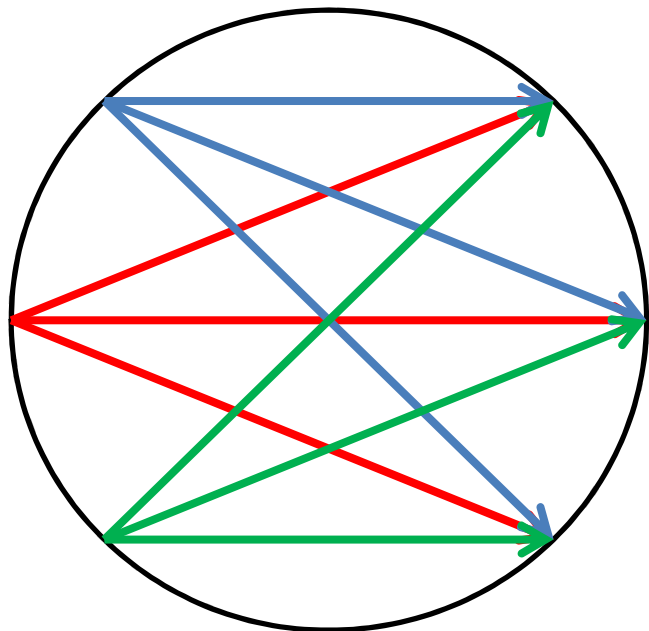
# FBP Fan-beam geometria esetén

- Eddig párhuzamosak voltak a vetítősugarak:
  - Gyakorlatban egy ilyen CT nem igazán realizálható
- Fan-beam vetítősugaras helikális CT (ú.n. CAT):

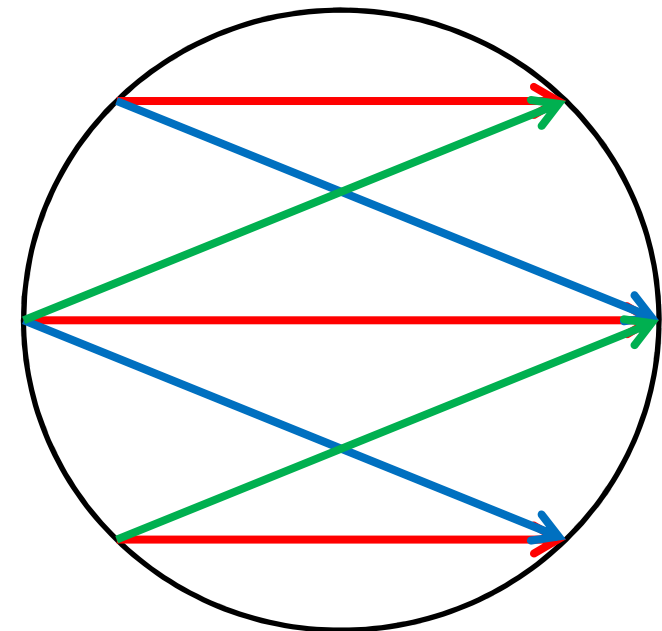


# FBP Fan-beam geometria esetén

- Alapötlet: a mért intenzitások átcsoportosítása párhuzamos vetítősugár alapú geometria szerint:
  - Lényegében új, párhuzamos vetítősugár szerinti virtuális projekciókat állítunk elő a fan-beam projekciókból.



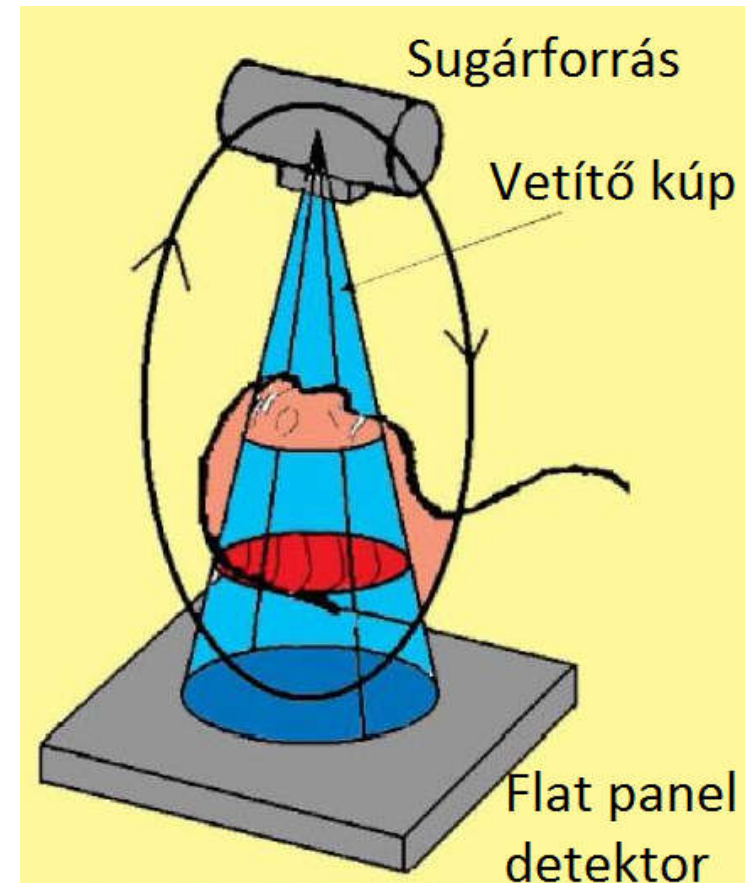
Fan-beam projekciók



Virtuális párhuzamos projekciók

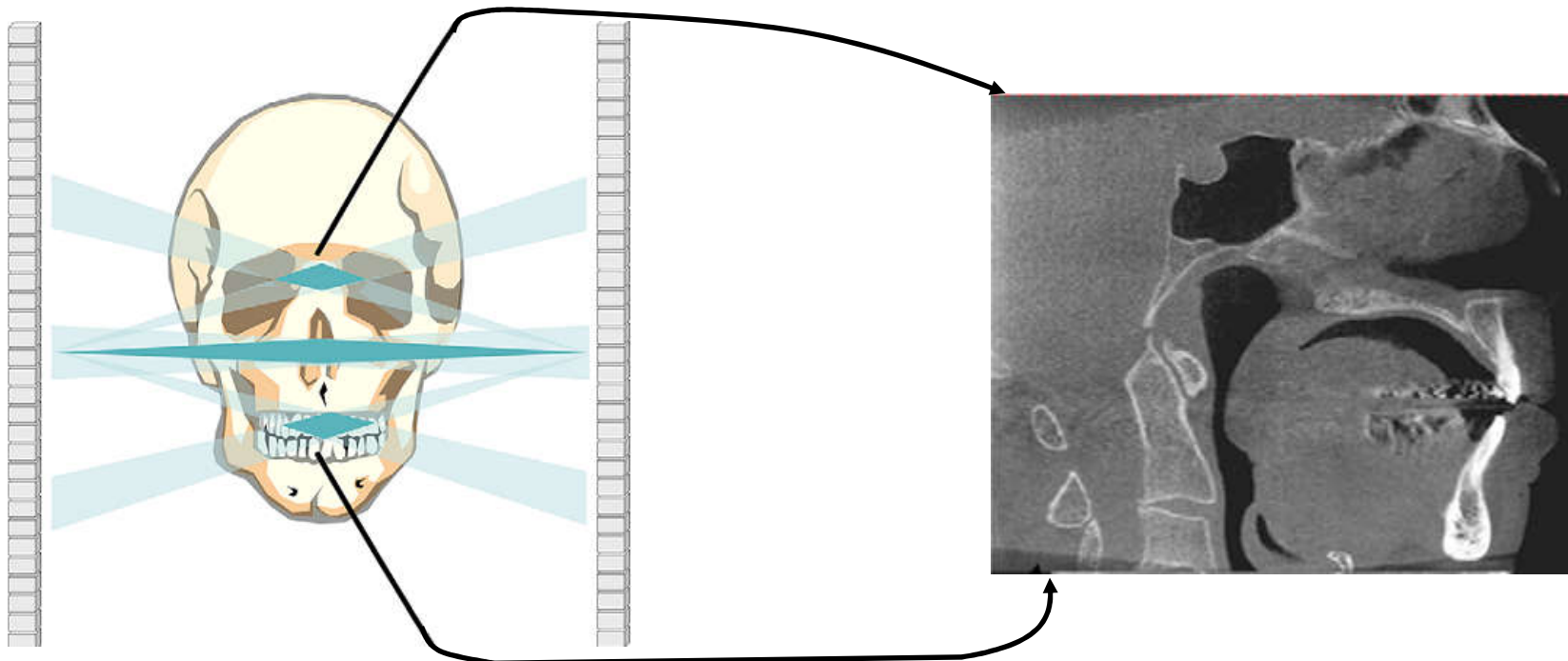
# FBP Cone-beam geometria esetén

- CBCT rendszerek - Cone-Beam geometria:
  - Flat-panel detektort használ, a sugarak kúpszerűen (innen az elnevezés) vetülnek a detektorra:



# Cone-beam geometria szerinti vetületek FBP rekonstrukciója - FDK

- Feldkamp, Davis, Kress CBCT-s algoritmus:
  - Klasszikus szűrt visszavetítéssel rekonstruál
  - Közelítően helyes algoritmus – ideális esetben sem tökéletes
- Ideális rekonstrukció esetén is Cone-beam artifakt



# Projekciók keletkezésének általános 3D modellje

- Általános modellje a (röntgen) képalkotásnak:

$$g(x, y) = \int_{-\infty}^{\infty} \int_{-\infty}^{\infty} \int_{\gamma=0}^{\infty} h(x, y; \alpha, \beta, \gamma) \cdot f(\alpha, \beta, \gamma) d\gamma d\alpha d\beta + \eta(x, y)$$

- Mérésekkel rendelkezünk:  $g(x, y)$
- Teoretikusan ismerjük a rendszer PSF-jét: Beer- Lambert törvény szerint, ami nem modellez sem szórt, sem a fotoelektromos kölcsönhatás során emittált fotonokat.
- Rekonstrukció célja  $f(\alpha, \beta, \gamma)$  meghatározása
- Érdeemes megjegyezni, hogy a Beer-Lambert törvélynél ez egy általánosabb modell, de monokróm sugarakat feltételez, gyakorlatban nem tudunk vele dolgozni túl nagy komplexitás.



# Projekciók keletkezésének általános 3D modellje

- Megfigyelési modell diszkretizáltja  $\mathbf{g} = \mathbf{H} \cdot \mathbf{f} + \boldsymbol{\eta}$  :
  - $\mathbf{g}$  tartalmazza az összes vetítősugár fotodiódákon mért intenzitások negatív logaritmáltját (tehát minden projekció minden pixeléhez tartozó intenzitását tartalmazó vektor).
  - $\mathbf{H}$  a vetítő mátrix,  $\mathbf{H}_{(i,j)}$ :  $i$ -edik pixelbe csapódó fotonok a  $j$ -edik voxeltől mennyire csillapodnak (ez anyag független).
  - $\boldsymbol{\eta}$  az additív zaj – nem modellezett hatások determinálják
- Lényegében ez is inverz probléma:
  - Ugyanúgy jelentős a zajérzékenység, mint 2D esetben
  - Ellentétben nagyságrendekkel több változó (akár  $1E7$ )

# Projekciók keletkezésének általános 3D modellje

Ez így túl általános, de jobban modellezi a valóságot.

- Gyakorlatban viszont  $\mathbf{H}_{(i,j)}$  az  $i$ -edik pixelbe csapódó fotonok által a  $j$ -edik voxelben megtett útnak a hossza (csak primer sugárzás) / kúpnek a térfogata. Ezzel a megkötéssel  $\mathbf{H}$  egy ritka, ú.n. sávmátrixá válik.
  - $\mathbf{H}$  a vetítő mátrix,  $\mathbf{H}_{(i,j)}$ :  $i$ -edik pixelbe csapódó fotonok a  $j$ -edik voxelben lévő anyagtól mennyire csillapodnak.
  - $\boldsymbol{\eta}$  az additív zaj – nem modellezett hatások determinálják
- Lényegében ez is inverz probléma:
  - Ugyanúgy jelentős a zajérzékenység, mint 2D esetben
  - Ellentétben nagyságrendekkel több változó (akár  $1E7$ )

# Algebrai rekonstrukciós technika (Gordon ART)

- Kaczmarz iterációval történik  $\mathbf{g} = \mathbf{H} \cdot \mathbf{f}$  megoldása:
  - Rekonstrukciónál a  $\mathbf{f} = \mathbf{H}^\dagger \cdot \mathbf{g}$  megoldás lenne az „ideális”, de:
    - Túl nagy  $\mathbf{H}$  mérete a ma elérhető számítási teljesítményhez
    - Ráadásul  $\mathbf{H}$  nagyon ritka, melyet általános algebrai módszerek nem képesek hatékonyan kihasználni
  - Eljárás alapötlete:  $\mathbf{g} = \mathbf{H} \cdot \mathbf{f}$  lényegében  $N$  db (vetítősugarak száma),  $M$  dimenziós hipersík egyenlete
    - Ha létezik egzakt inverz, akkor a hipersíkok az  $M$  dimenziós tér ugyanazon pontjában metszik egymást.
    - Ha túlhatározott, akkor nincs metszéspont, ha alulhatározott akkor az  $M$  dimenziós teret egy résztartományra szűkítik.

# Algebrai rekonstrukciós technika (Gordon ART)

– Az eljárás  $k+1$ . iterációban merőlegesen vetíti az aktuális  $\mathbf{f}$  -et  $\mathbf{g}_{(i)} = \mathbf{H}_{(i,:)} \cdot \mathbf{f}$  hipersíkra ( $i \equiv k \pmod{N}$ ):

- $\mathbf{f}$  a  $\mathbf{H}_{(i,:)}$ -re merőlegesen azon síkon helyezkedik el, mely távolsága az origótól  $\mathbf{g}_{(i)} / \|\mathbf{H}_{(i,:)}\|_2$

- Tehát  $\mathbf{f}^{(k+1)} = \mathbf{f}^{(k)} - \alpha \cdot \mathbf{H}_{(i,:)}^T$ , a merőleges vetítés után  $\mathbf{g}_{(i)} = \mathbf{H}_{(i,:)} \cdot (\mathbf{f}^{(k)} - \alpha \cdot \mathbf{H}_{(i,:)}^T)$  teljesül, amiből kifejezve:

$$\alpha = \left( \mathbf{H}_{(i,:)} \cdot \mathbf{f}^{(k)} - \mathbf{g}_{(i)} \right) / \left( \mathbf{H}_{(i,:)} \cdot \mathbf{H}_{(i,:)}^T \right), \text{ behelyettesítve:}$$

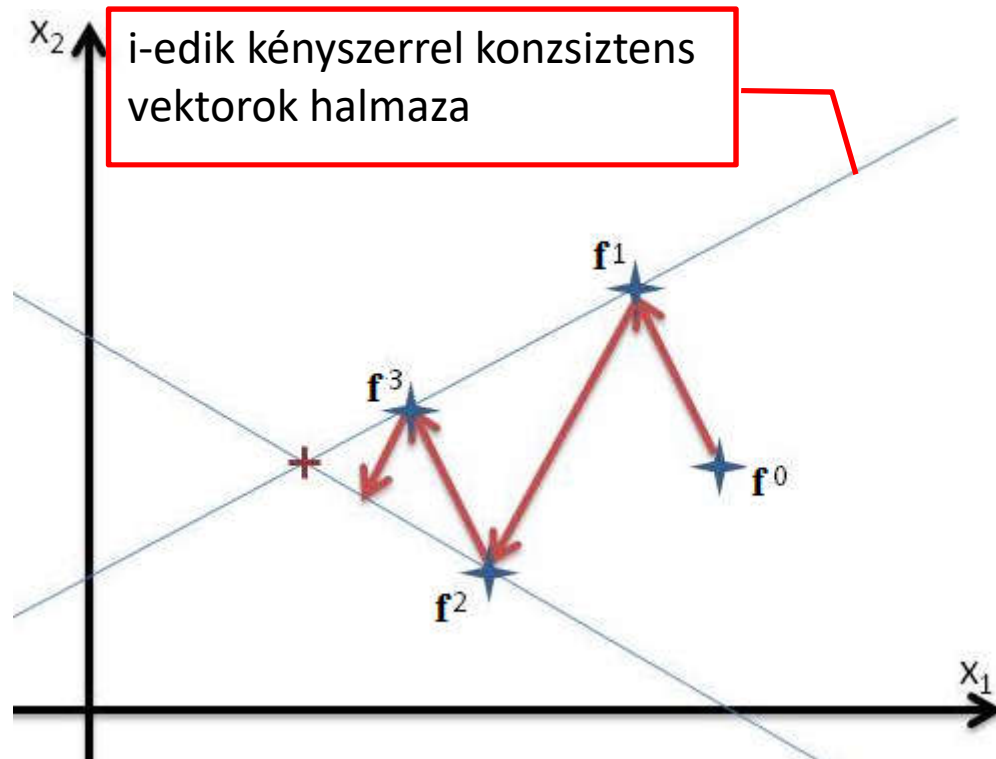
$$\mathbf{f}^{(k+1)} = \mathbf{f}^{(k)} - \left( \mathbf{H}_{(i,:)} \cdot \mathbf{f}^{(k)} - \mathbf{g}_{(i)} \right) \cdot \frac{\mathbf{H}_{(i,:)}^T}{\mathbf{H}_{(i,:)} \cdot \mathbf{H}_{(i,:)}^T}$$

# Algebrai rekonstrukciós technika (Gordon ART)

- $\mathbf{f}^{(k+1)} = \mathbf{f}^{(k)} + \left( \mathbf{g}_{(i)} - \mathbf{H}_{(i,:)} \cdot \mathbf{f}^{(k)} \right) \frac{\mathbf{H}_{(i,:)}^T}{\mathbf{H}_{(i,:)} \cdot \mathbf{H}_{(i,:)}^T}$  interpretációja:
  - $\mathbf{g} - \mathbf{H} \cdot \mathbf{f}^{(k)}$  a rögzített projekciók és az aktuális ( $\mathbf{f}^{(k)}$ ) rekonstrukció modell szerinti vetületének a különbsége (vetületi hiba)
  - $\mathbf{H}_{(i,:)}^T / \left( \mathbf{H}_{(i,:)} \cdot \mathbf{H}_{(i,:)}^T \right)$ : a vetületi hibát vetíti vissza
- Eljárás tulajdonságai:
  - Sok, könnyen számolható iteráció, melyek nem párhuzamosíthatóak
  - Konvergál, ha megfigyeléseink konzisztensek, ellentétben limit hurokba szorul, mely belsejében helyezkedik el az  $\mathbf{f}^* = \mathbf{H}^\dagger \cdot \mathbf{g}$ .
  - Hátránya, hogy nincs prior, ezért túlilleszkedésre hajlamos (lényegében egy ML becslés Gauss eloszlású likelihood-dal, ha konzisztens)
  - Szükség van egy  $\mathbf{f}^{(0)}$ -ra: gyakran FBP / BP eredménye

# Kaczmarz iteráció példa

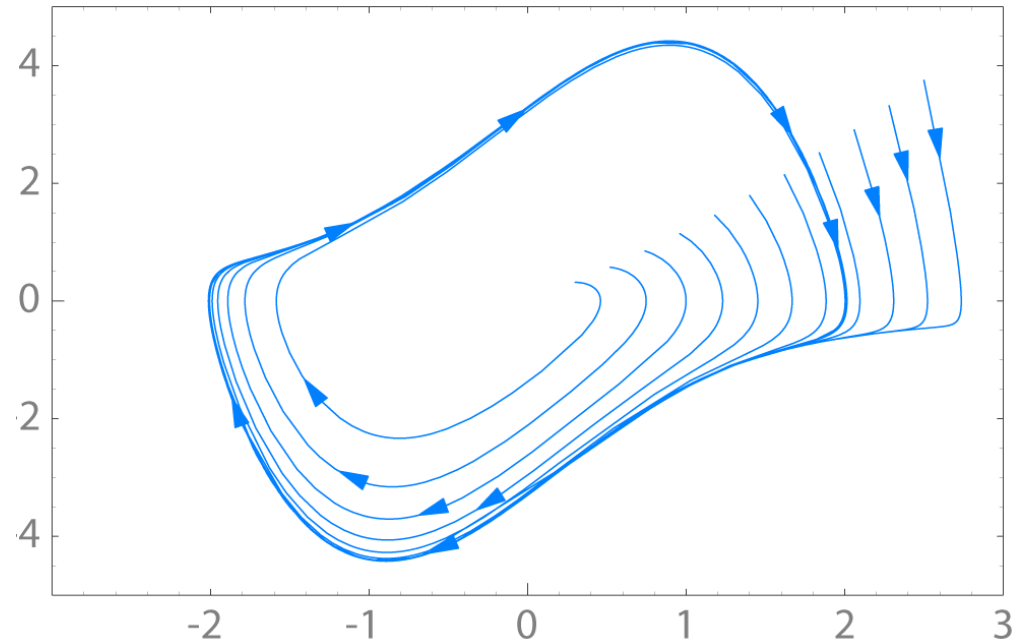
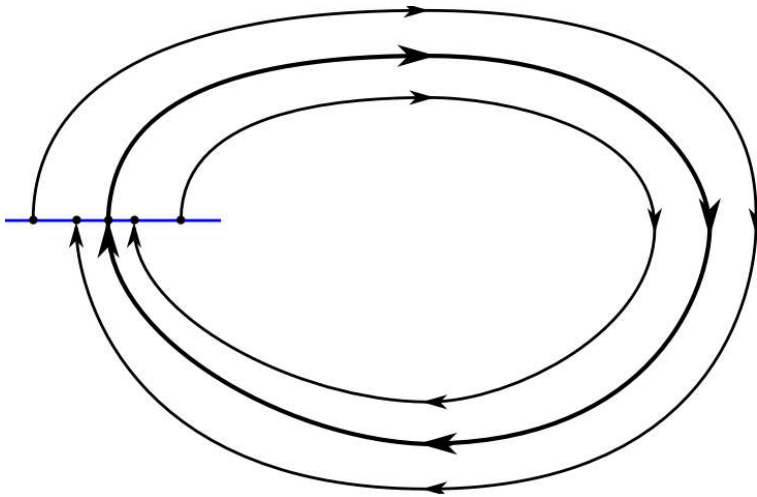
- $N=2$ ,  $M=2$  esete:



- Ha a két merőleges hipersík egymásra merőleges, akkor két iteráció alatt megvan a metszéspont
- Ha a hipersíkok párhuzamosak, akkor az iteráció nem áll le (limit hurokba kerül)
- Minél nagyobb a két egyenes által bezárt szög, annál gyorsabb a konvergencia.

# Limit hurok viselkedés

- Gordon ART inkonzisztens projekciók esetén limit hurokba lép:



Stabil limit hurkok viselkedés: a rendszer állapotváltozója hurok trajektóriába ragad

# Algebrai rekonstrukciós technika (Simultaneous ART)

- Egyidejű ART (SART):

- Hibaképzés nem vetítősugaranként, hanem projekciónként:

$$\mathbf{f}^{(k+1)} = \mathbf{f}^{(k)} + \lambda \cdot \sum_{j \in S_i} \left( \mathbf{g}_{(j)} - \mathbf{H}_{(j,:)} \cdot \mathbf{f}^{(k)} \right) \frac{\mathbf{H}_{(j,:)}^T}{\mathbf{H}_{(j,:)} \cdot \mathbf{H}_{(j,:)}^T}$$

- $S_i$ :  $i$ -edik projekció pixeleit előállító vetítősugarak halmaza

- Tetszőleges  $\mathbf{f}^{(0)}$  esetén is konvergál egy LS becslőhöz:

- Ha több LS becslő van, akkor az  $\mathbf{f}^{(0)}$ -hoz L2 szerinti legközelebbihez

- Jól párhuzamosítható:

- Azonos projekcióhoz tartozó vetítősugarak menti levetítés és visszavetítés egymástól független

- Zajra túlilleszkedés tulajdonsága változatlanul megmaradt

- Ez az eljárás is ekvivalens egy ML becsléssel



# Algebrai rekonstrukciós technika

(Simultaneous Iterative Reconstructive Technique)

- Egyidejű Iteratív Rekonstrukciós eljárás:
  - Összes projekció, összes pixele szerint egyszerre képez hibát:

$$\mathbf{f}^{(k+1)} = \mathbf{f}^{(k)} + \lambda \cdot \sum_j \left( \mathbf{g}_{(j)} - \mathbf{H}_{(j,:)} \cdot \mathbf{f}^{(k)} \right) \frac{\mathbf{H}_{(j,:)}^T}{\mathbf{H}_{(j,:)} \cdot \mathbf{H}_{(j,:)}^T}$$

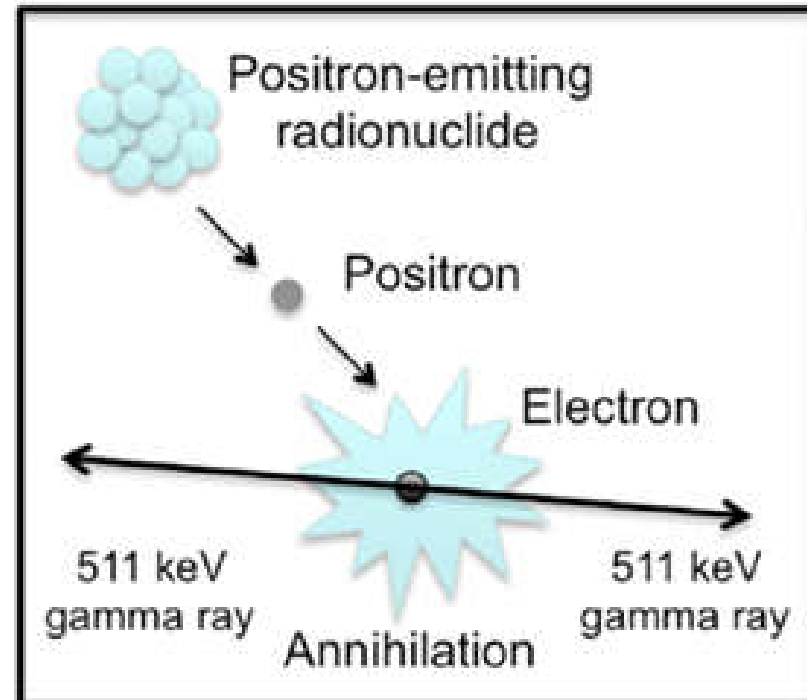
- Hasonló konvergencia tulajdonságok, mint az SART-nél:
  - Pontosan ugyanazon becsléshez konvergál
- Jól párhuzamosítható, de:
  - Egyszerre csak egy projekció le / visszavetítése nem módosítja többször u.a. voxel (egyébként versenyhelyzet).
  - Gyakorlatban több számolás szükséges a konvergenciához, mint a másik két ART-nél
- Létezik olyan változat, mely kezeli a polikróm energia spektrum miatt kialakuló sugárkeményedés artifaktumot.

# Algebrai rekonstrukciós technika (Multiplikatív ART)

- Eddig Additív ART-eket néztünk:
  - Kezdeti iterációk során lassabban haladnak
  - Pozitivitási kényszert nem lehet kikényszeríteni
- Multiplikatív ART-k:
  - Hibát multiplikatív módon származtatják
  - pl.: 
$$\mathbf{f}_{(i)}^{(k)} = \mathbf{f}_{(i)}^{(k-1)} \cdot \mu \cdot \left( 1 - \frac{\mathbf{g}_{(j)}}{\mathbf{H}_{(j,:)} \cdot \mathbf{f}^{(k)}} \right)^{H_{(j,i)}}$$
  - A hibát  $1 - \mathbf{g}_{(j)} / \mathbf{H}_{(j,:)} \cdot \mathbf{f}^{(k)}$  értéke méri
  - Kezdeti iterációk hatékonyabbak, de gyakran divergál, vagy a végén túlságosan lelassul.

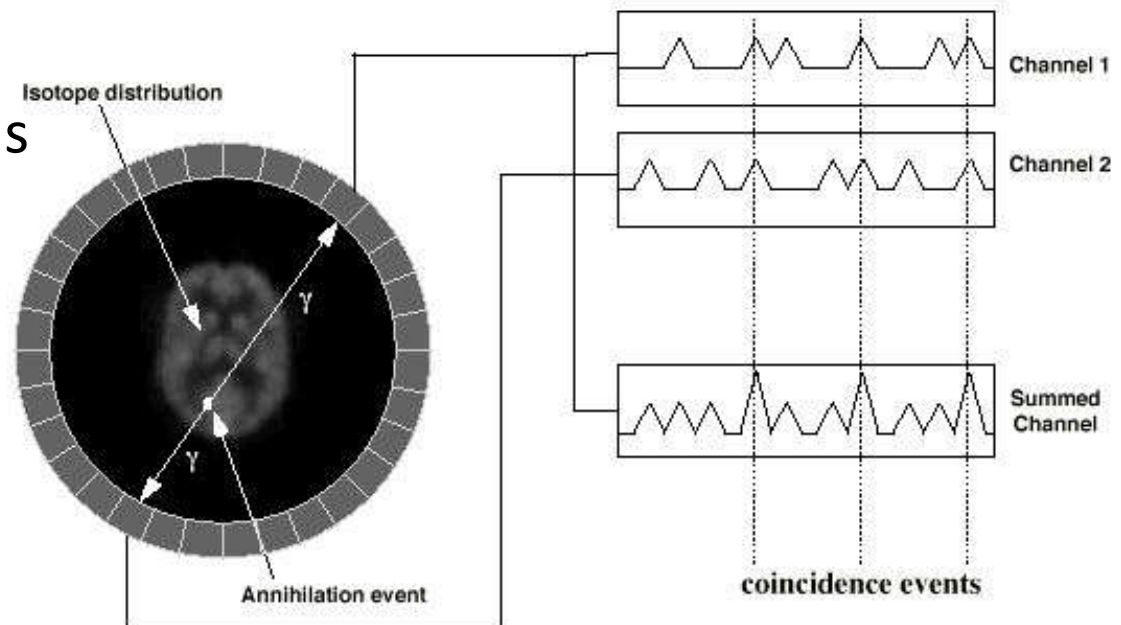
# Pozitron emissziós tomográfia alapelve

- Szervezetbe pozitron kibocsátására képes radioaktív izotópot tartalmazó anyagot visznek cukoroldatban.
- Sejtek tápanyagfelvétele miatt nagyobb energiaigényű (pl. gyulladt / daganatos) sejtek helyén több pozitron emisszió.
- Pozitron elektronnal ütközik:
  - Két db, egymással ellentétes irányú  $\gamma$  foton emittálódik.
  - Detektor ezeknek a beütését méri.



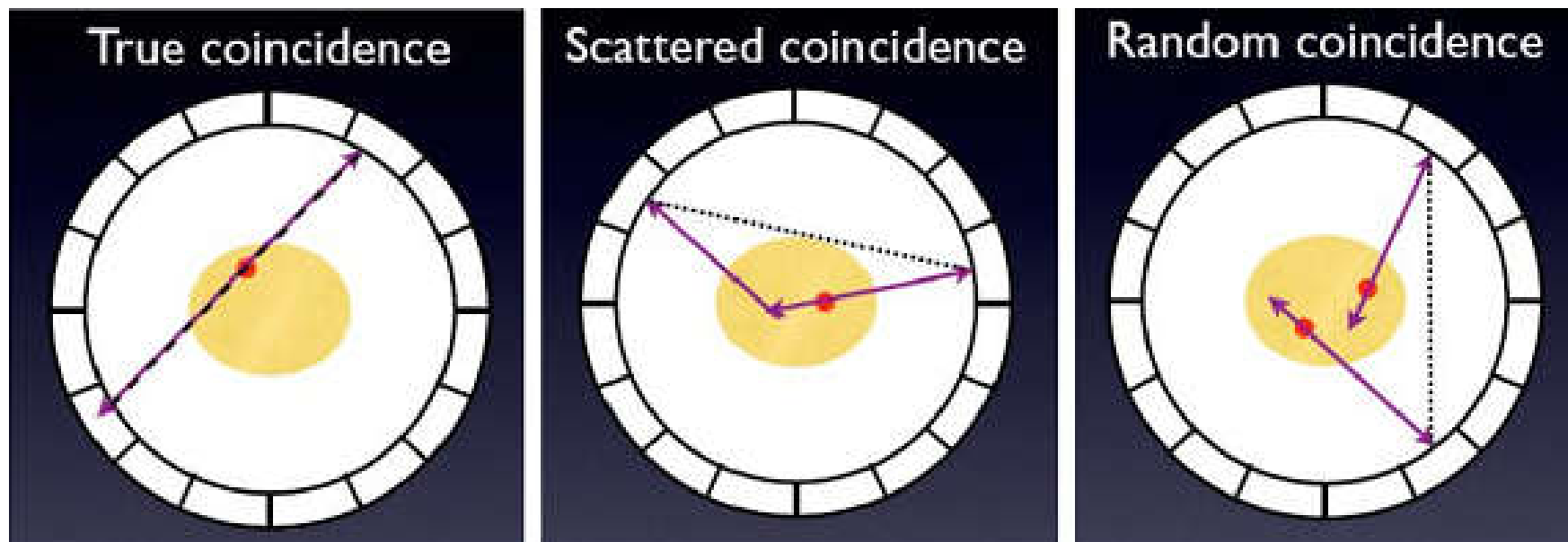
# Pozitron emissziós tomográfia rekonstrukciója

- Line of Response : ugyanazon bomló izotóp által kibocsátott  $\gamma$  fotonok beütési helyét összekötő szakasz
  - Érdeemes szem előtt tartani, hogy előre nem határozható meg, hogy egy-egy foton milyen irányba fog haladni
  - Elegendően sok kisugárzás esetén viszont hasonlóan viselkedik, mint akármilyen sugárforrás (Poisson folyamat).



# Pozitron emissziós tomográfia projekciók zajának értelmezése

- Sokszor téves LOR-t mérünk:
  - Szóródás (rugalmas ütközés) miatt a térfogaton belül megváltoztatja irányát a  $\gamma$  foton.
  - Két, hozzávetőlegesen egy időben történő bomlás is fals látszólagos LOR-t eredményez.



# Pozitron emissziós tomográfia rekonstrukciója

- Rekonstrukció során a LOR-ok interpretálhatóak vetítősugaraknak is (intenzitás meg az adott LOR menti gyakorisága a  $\gamma$  beütéseknek).
- Elegendően sok beütés szükséges az eloszlás becsléséhez:
  - Egy scan akár több perc
  - Nagyságrenddel rosszabb SNR, mint CT esetén

